

ОБЪЕДИНЕННЫЙ
ИНСТИТУТ
ЯДЕРНЫХ
ИССЛЕДОВАНИЙ

ДУБНА



8947

P4 - 8947

ЭКЗ. ЧИТ. ЗАЛ

К. Неергорд, В.В.Пашкевич

ОБОЛОЧЕЧНАЯ ПОПРАВКА
К ЭНЕРГИИ ДЕФОРМАЦИИ ЯДЕР
С ОЧЕНЬ БОЛЬШИМ СПИНОМ ($I \approx 100$)

1975

P4 - 8947

К. Неергорд,* В.В.Пашкевич

ОБОЛОЧЕЧНАЯ ПОПРАВКА
К ЭНЕРГИИ ДЕФОРМАЦИИ ЯДЕР
С ОЧЕНЬ БОЛЬШИМ СПИНОМ ($I \approx 100$)

Направлено в "Physics Letters"

* Адрес с 1 сентября 1975 г.: Kernforschungsanlage
Jülich, Jülich, BRD.

Продукты реакции слияния с тяжелыми ионами после испарения часто могут обладать угловым моментом ~100 единиц. При таком большом моменте одночастичный спектр ядра заданной формы будет отличаться от спектра невращающегося ядра ^{1/} и следует ожидать новых свойств оболочечного вклада ^{2/} в энергию деформации. С целью количественного изучения этого эффекта мы применили процедуру Струтинского ^{2/} к холодному ядру произвольно высокого спина. /Предельный случай низкого спина рассматривался Фрауендорфом и Пашкевичем ^{3-4/} /. В качестве первого приложения метода мы исследовали энергию при конечном спине 16 редкоземельных ядер вблизи линии бета-стабильности в зависимости от квадрупольных параметров деформации β и γ . В настоящей заметке мы ^{1/} кратко опишем метод и ^{2/} проиллюстрируем типичные результаты, обсуждая несколько отобранных примеров. Более полно результаты будут представлены отдельно.

Энергию деформации, которая играет основную роль в обычных вычислениях Струтинского, можно рассматривать ^{2,5/} как приближение к функции

$$E(\beta) \equiv \inf \{ \langle \hat{H} \rangle | \beta \}, \quad /1/$$

т.е. к наименьшему ожидаемому значению точного гамильтониана \hat{H} , полученному на множестве детерминантов Слейтера, которое ограничено условием, что каждый

детерминант должен описывать конфигурацию с одной и той же деформацией β . /Здесь β означает полный набор параметров деформации/. Описывая вращение в приближении модели принудительного вращения*, можно написать аналог выражения /1/, соответствующий конечному спину \vec{I} /который рассматривается как классический вектор/

$$E(\beta, \vec{I}) \equiv \inf \{ \langle \hat{N} \rangle \mid \langle \hat{I} \rangle = \vec{I}, \beta \}. \quad /2/$$

где \hat{I} обозначает квантовый угловой момент ($\hbar = 1$).

Когда $E(\beta, \vec{I})$ является выпуклой функцией \vec{I} , минимизация в ур. /2/ эквивалентна определению

$$R(\beta, \vec{\omega}) \equiv \inf \{ \langle \hat{N} - \vec{\omega} \cdot \hat{I} \rangle \mid \beta \} \quad /3/$$

для

$$\vec{\omega} = \frac{\partial E(\beta, \vec{I})}{\partial \vec{I}}. \quad /4/$$

Из ур. /2/-/4/ немедленно следует

$$E(\beta, \vec{I}) = R(\beta, \vec{\omega}) + \vec{\omega} \cdot \vec{I}, \quad /5/$$

$$\vec{I} = - \frac{\partial R(\beta, \vec{\omega})}{\partial \vec{\omega}}. \quad /6/$$

Итак, можно получить функцию $E(\beta, \vec{I})$, вычисляя сначала функцию $R(\beta, \vec{\omega})$, затем решая ур. /6/ относительно $\vec{\omega}$ и подставляя полученное значение в ур. /5/. Таким образом, наша задача сводится к нахождению приближения к функции $R(\beta, \vec{\omega})$. Выражения /1/ и /3/ имеют одинаковую формальную структуру, так что возможно непосредственное применение энергетической теоремы /2/ к R-функции. Имея в виду успех вычислений

* В нашей терминологии "модель принудительного вращения" не обязательно связана с использованием теории возмущения.

обычной энергии деформации по методу Струтинского, с учетом оболочечной поправки первого порядка, представляется разумным предположить, что параллельная процедура даст значение R-функции с достаточной точностью. Соответственно, мы записываем

$$R(\beta, \vec{\omega}) = R_{cl}(\beta, \vec{\omega}) + \delta R(\beta, \vec{\omega}) \quad /7/$$

с R_{cl} и δR , обозначающими "гладкую" часть и оболочечную поправку, соответственно.

Известно /6/, что в статистическом приближении поведение ирраст-полосы определяется твердотельным моментом инерции. Тогда разумным выражением для "гладкой" части $R_{cl}(\beta, \vec{\omega})$ является

$$R_{cl}(\beta, \vec{\omega}) = U_{LD}(\beta) - \frac{1}{2} \omega \cdot \mathcal{J}_{rig}(\beta) \omega, \quad /8/$$

где U_{LD} - обычная энергия жидкой капли, а \mathcal{J}_{rig} означает твердотельный инерциальный тензор. /R-функция играет роль функции Рауса /7/. Следовательно, кинетическая энергия вращения входит в ур. /8/ с отрицательным знаком/. При обобщении энергетической теоремы слагаемое с лагранжевым множителем $-\vec{\omega} \cdot \vec{I}$, будучи одночастичным оператором, очевидно, входит наряду с кинетической энергией \hat{N} . Следовательно, оператор, заменяющий одночастичный гамильтониан при вычислении оболочечной поправки δR , имеет вид

$$r(\beta, \vec{\omega}) = t - \vec{\omega} \cdot \vec{j} + \tilde{V}(\beta, \vec{\omega}), \quad /9/$$

где t - одночастичная кинетическая энергия, \vec{j} - одночастичный угловой момент и \tilde{V} - среднее поле, которое, в принципе, должно быть получено на основе гладкой плотности частиц, проинтегрированной вместе с двухчастичными взаимодействиями. Явная зависимость \tilde{V} от $\vec{\omega}$ может быть оценена и оказывается слабой. Мы ею пренебрегали в модели, используемой в наших вычислениях. /Так же как и высшими степенями ω в разложении /8//.

В этой модели $U_{LD}(\beta, \gamma)$ аппроксимировалось полиномом третьей степени, представляющим собой пер-

вые члены разложения около сферы^{/8/}. Для $J_{\text{rig}}(\beta, \gamma)$ использовалось выражение, справедливое для однородного эллипсоида. Предсказания этой довольно грубой классической модели, как было найдено, согласуются довольно хорошо со значениями, полученными Козном и др.^{/9/} на основе значительно более уточненных классических вычислений. В качестве среднего поля $\bar{V}(\beta, \gamma)$ использовался трехосный потенциал Нильссона. Эффекты спаривания не учитывались. Рассматривались только конфигурации со спином, направленным вдоль одной из главных осей квадруполоида. В таких конфигурациях $\vec{\omega}$ и \vec{I} параллельны и векторный характер обоих величин можно игнорировать. Считая спин направленным вдоль 1-ой оси, все такие конфигурации могут быть получены в удобной параметризации^{/10/}, в которой три главные оси выбраны так, что

$$R_i = R_0(\beta, \gamma) \left(1 + \sqrt{\frac{5}{4\pi}} \beta \cos\left(\gamma - i \frac{2\pi}{3}\right) \right), \quad /10/$$

$$i = 1, 2, 3; \quad -\frac{\pi}{3} \leq \gamma \leq \frac{2\pi}{3}.$$

Наши вычисления были еще более ограничены областями в (β, γ) -плоскости, показанными на рис. 2. В этой области $E(\beta, \gamma, I)$ вычислялось для последовательных значений I от 0 до 140 с шагом в 10 единиц.

На рис. 1 изменение оболочечной структуры с изменением спина иллюстрируется с помощью изображения функции $\delta R(\beta, \gamma, \omega)$ для $\omega = 0$ и $\omega = 0,6 \text{ МэВ}$, соответственно. Последнее значение ω соответствует I , порядка 40. Следует отметить особо, что симметрия относительно оси $\gamma = 0^\circ$ теряется полностью при таких значениях углового момента.

На рис. 2 показано изменение положения различных минимумов энергии с изменением спина. Также показано соответствующее изменение в чистой классической модели /которую можно получить, опуская второй член в ур. /7//. В качестве типичных примеров были выбраны два ядра, ^{160}Dy и ^{178}Hf , представляющих более легкую

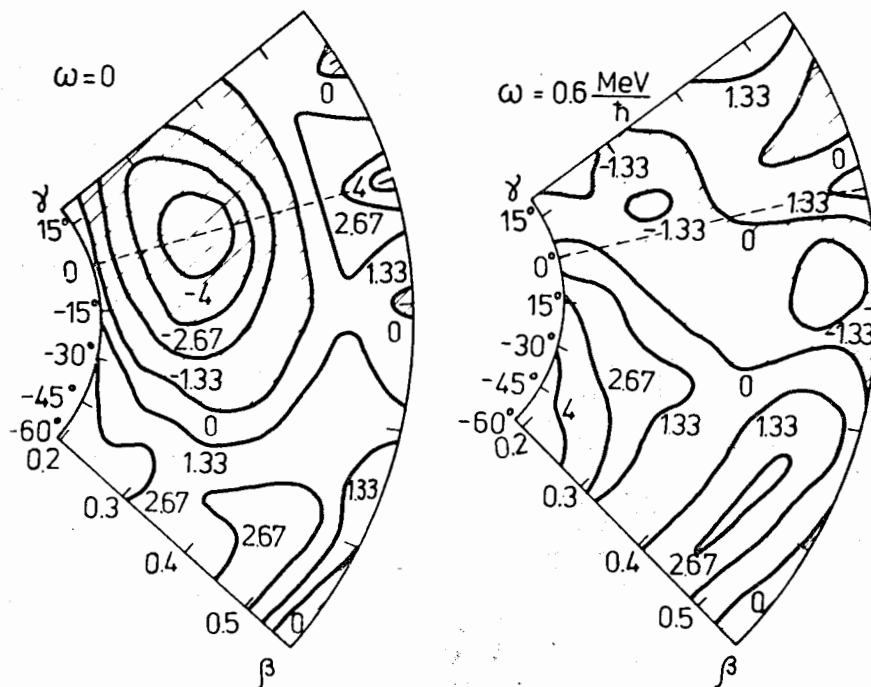


Рис. 1. Оболочечный вклад в R -функцию ядра ^{168}Yb при $\omega = 0$ и $\omega = 0,6 \text{ МэВ}$.

и более тяжелую области рассмотренных ядер. На сильно изрезанном "ландшафте" довольно часто встречаются мелкие "озера", которые вряд ли соответствуют стабильным конфигурациям, если иметь в виду динамические флюктуации формы. Чтобы исключить такие ложные минимумы, в качестве критерия "стабильности" минимума было выбрано условие, что барьер, окружающий минимум, нигде не был ниже 1,5-2 МэВ.

Ядро ^{160}Dy /рис. 2а/

При $I \leq 50$ равновесные формы соответствуют положительным значениям γ . Это значит, что оболочечные силы достаточно велики и направлены так, что ядро

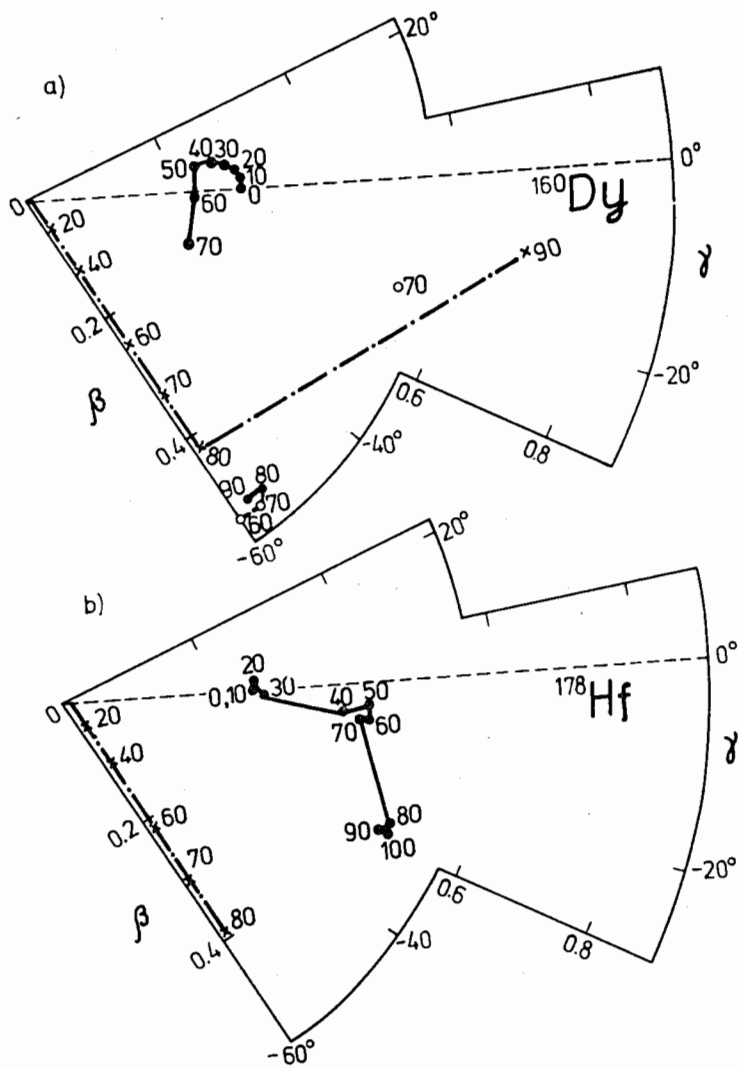


Рис. 2. Различные минимумы в энергии деформации ядер ^{160}Dy и ^{178}Hf . Черные кружки обозначают положение абсолютного минимума, светлые - второго минимума и крестики - минимума в классической энергии. Точки, принадлежащие непрерывному семейству форм, соединены прямыми линиями.

вращается вокруг промежуточной оси классического тензора инерции. Это характерно для большинства рассмотренных ядер с числом нейтронов $N \leq 102$. При $N=98$ и $N=102$ максимальное значение γ становится даже больше, чем в ядре ^{160}Dy . /Шаг по N был выбран равным 4/. Так в некоторых ядрах с $N=102$ минимум выходит за верхнюю границу области, в которой проводились вычисления. Для $N \geq 106$ положительные значения γ также часто были получены, но здесь только при малых значениях спина. /см., напр., ^{178}Hf , рис. 2в/. Тенденция к положительным значениям γ в пределе малого спина, наблюдаемая здесь, находится в согласии с рядом микроскопических вычислений /11-14/, в которых было показано, что производная $\partial J_{\text{cr}} / \partial \gamma$ момента инерции в модели принудительного вращения положительна в редкоземельной области /в адиабатическом приближении /15/ это ведет к положительным z_2 , в согласии с экспериментом/. То, что тот же характер зависимости получен в настоящих вычислениях, показывает, что этот результат не зависит от присутствия парных корреляций. Это можно понять на основании того, что в четно-четном ядре момент инерции в модели принудительного вращения исчезает /с учетом спаривания или без него/ при $\sin(\gamma - 2\pi/3) = 0$ и $\beta \neq 0$ и, следовательно, растет с ростом $\sin(\gamma - 2\pi/3)$.

Второй минимум проявляется в точке $(\beta, \gamma) \approx (0,5, -60^\circ)$ при $I = 60$, а при $I = 80$ становится абсолютным минимумом, в то время как конфигурация с меньшей деформацией теряет стабильность. При $I = 70$ энергия ядра ^{160}Dy имеет три минимума, все в пределах 400 кэВ. Третий из них $((\beta, \gamma) \approx (0,53, -17^\circ))$ не является стабильным ни при меньших, ни при больших спинах и вряд ли играет какую-либо роль при распаде компаунд-ядра. Для $I \geq 100$ стабильных минимумов нет.

Ядро ^{178}Hf

Этот пример существенно отличается от предыдущего в том смысле, что равновесная форма эволюционирует непрерывно от $I=0$ до $I=100$, т.е. до максимального спи-

на, при котором ядро еще стабильно относительно деления. При $I \geq 30$ значение γ отрицательно. Развитие формы грубо может быть описано как центробежное растяжение, начинающееся с основного состояния при $(\beta, \gamma) = (0, 26, 0^\circ)$.

Сосуществование нескольких минимумов, как было видно в случае ^{160}Dy , разительным образом проявляется в ядрах с $N = 90$. Так, в ^{156}Dy /см. рис. 3/ два хорошо определенных минимума с $\beta \approx 0,3$ и $0,8$ присутствуют одновременно при всех $I \geq 40$. Хотелось бы подчеркнуть глубоко идущие следствия, вытекающие из ситуации, изображенной на рис. 3, для γ -распада после первого, статистического охлаждения, ведущего ядро в область ираст-полосы /16/. Статистический распад наиболее вероятно приведет к конфигурации с наименьшей энергией, т.е. при $I \geq 60$ к состоянию с сильно деформированной формой. Вследствие большого барьера, разделяющего два минимума, следует ожидать, что система будет оставаться в минимуме, соответствующем большой деформации, даже после того, как он перестал быть нижайшим. Таким образом, система отклонится от ираст-полосы, пока в конце концов барьер не исчезнет при $I \leq 40$ и не сможет начаться новое охлаждение. /Вычисления форм с большой деформацией не проводились при $I < 40$, но из более ранних исследований с учетом спаривания известно, что при $I = 0$ второго минимума нет/.

В заключение сделаем несколько общих замечаний относительно полученных результатов. Во-первых, оболочечная поправка, как оказывается, всегда стабилизирует холодное ядро относительно центробежного растяжения. Это связано с быстрыми изменениями, привносимыми в энергию оболочечной поправкой /см. рис. 3/. Примеры стабилизирующего эффекта видны на рис. 2, где в обоих случаях предсказываются стабильные конфигурации при таких спинах, при которых классическое ядро уже теряет стабильность. /Следует помнить в этой связи о более жестких критериях стабильности, которые применялись к минимумам энергии с оболочечной поправкой. Для трехосной конфигурации, предсказываемой в классической модели, барьер деления никогда не превосходит 2 МэВ /. В благоприятных случаях оболочечная

поправка может повысить критический спин на величину до ~ 30 единиц.

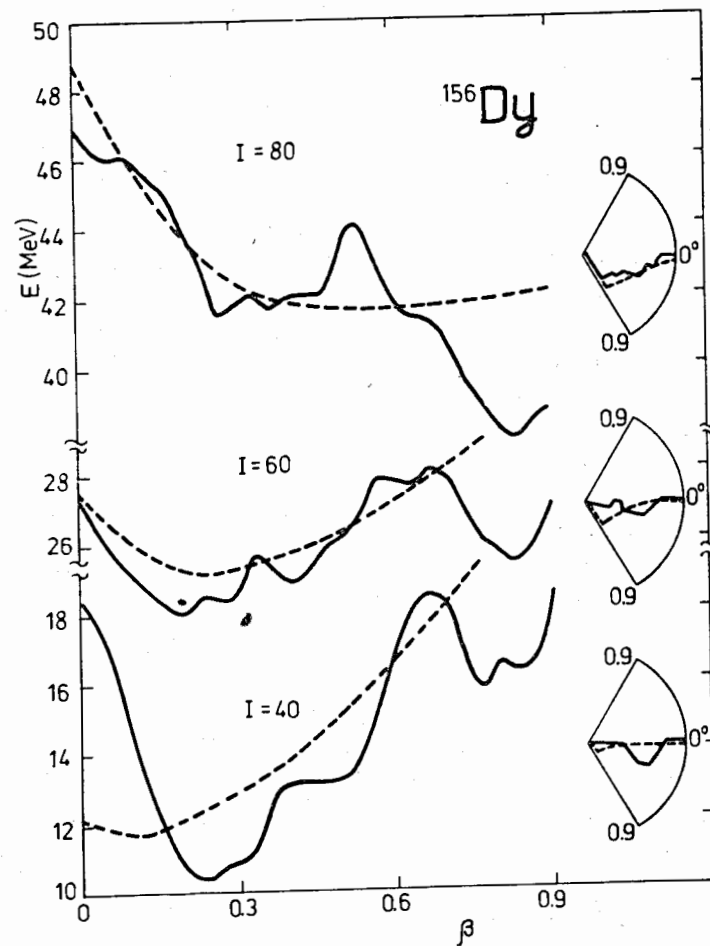


Рис. 3. Разрезы энергии деформации ядра ^{156}Dy приблизительно вдоль "делительной долины" при трех значениях спина. Вставки указывают проекцию разреза на (β, γ) -плоскости. Соответствующие классические кривые показаны пунктиром.

Другой общей чертой является отсутствие ираст-конфигурации, близкой к линии $\gamma = -60^\circ$. Ядро ^{160}Dy является одним из немногих исключений из этого правила/. Отсутствие таких конфигураций означает, что все переходы ираст-распада будут иметь ротационное усиление, что приведет к короткому полному времени распада компаунд-ядра, в соответствии с экспериментальными данными ^{160}Dy . Более того, частота нутационных колебаний ω_W ("Wobbling frequency" в терминологии работы ^{160}Dy) будет мала. На самом деле ω_W исчезает при $\gamma = 0^\circ$ / ну $=60^\circ$ /, где нутационный спектр переходит в квадратичный, связанный с вращением вокруг оси симметрии. Оценивая ω_W в некоторых случаях на основе наших вычислений энергии деформации, находим, что типичное значение ω_W равно 50-100 кэВ. Эта величина достаточно мала, чтобы можно было объяснить на вид непрерывный характер наблюдаемого спектра распада.

Нам приятно выразить благодарность всем нашим коллегам из Варшавы, Дубны, Копенгагена, Лунда и Россендорфа, особенно д-ру С.Фрауендорфу, за многочисленные полезные дискуссии. Мы также благодарны членам группы из Варшавы и Лунда за предоставление рукописи их статьи с близкими исследованиями до ее опубликования. Один из авторов /К.Н./ благодарен Объединенному институту ядерных исследований за гостеприимство, оказанное ему во время пребывания в Дубне.

Литература

1. A.Bohr, B.R.Mottelson. *Physica Scripta*, vol. 10A (1974) 13.
2. M.Brack et al. *Rev.Mod.Phys.*, 44, 320 (1972).
3. S.Frauentorf, V.V.Pashkevich. *Phys.Lett.*, 55B, 365 (1975).
4. В.В.Пашкевич, С.Фрауендорф. *ЯФ*, 20, 1122 /1974/.
5. V.M.Strutinsky. *Nucl.Phys.*, A218, 169 (1974).
6. О.Бор, Б.Моттelson. *Структура атомного ядра*, т.1, М., Мир, 1971, стр. 283-287.
7. Г.Голдстейн. "Классическая механика", М., Гостехиздат, 1957, стр. 239.
8. N.Bohr, J.A.Wheeler. *Phys.Rev.*, 56, 426 (1939).
9. S.Cohen, F.Plasil, W.J.Swiatecki. *Ann.Phys.*, 82, 557 (1974).

10. И.Н.Михайлов. Сообщение ОИЯИ, P4-7862, Дубна, 1974.
11. I.V.Pavlichenkov. *Nucl.Phys.*, 55, 225 (1964).
12. E.R.Marshalek. *Phys.Rev.*, 158, 993 (1967).
13. D.Karadjov, I.N.Mikhailov, J.Piperova. *Phys.Lett.*, 46B, 163 (1973).
14. K.Neergård. *NORDITA-Preprint, Dec, 1974.*
15. A.Bohr, B.R.Mottelson. "Nuclear Structure", v. 2, ch. 5 (in press).
16. B.R.Mottelson. *Proc. Nucl. Struct. Symp. of the Thousand Lakes, Joutsa, 1970, part II, pp. 148-165.*

Рукопись поступила в издательский отдел
9 июня 1975 года.